

วงจรกรองดิจิตอลแบบเลือกได้โดยใช้ TMS-320C26

Selective Digital Filter Using TMS-320C26

อมาพธ หอเชลักษ

บทคัดย่อ

บทความนี้นำเสนอด้วยการอ่านแบบ แล้วสร้างวงจรกรองความถี่แบบดิจิตอล ชนิดผลตอบสนองจำกัด
ทางความถี่ ซึ่งอยู่ในรูปของวงจรกรองแทนความถี่ต่ำผ่าน วงจรกรองแทนความถี่สูงผ่านและวงจรกรองแทน
ความถี่เหลพะผ่าน ให้มีการทำงานได้ที่เวลาจริง ซึ่งประยุกต์มาจากการลักษณะพื้นฐานรูปแบบหนึ่งของการ
ประมวลผลสัญญาณแบบดิจิตอลวงจรกรองความถี่ที่ได้ออกแบบขึ้นหัน จะมีการทำงานอยู่ในโคลเมนทางเวลา
ตามค่าสัมประสิทธิ์ที่กำหนด เพื่อให้ได้ผลตอบสนองทางความถี่มีค่าใกล้เคียงกับในทางอุดมคติมากที่สุด
การทดลองเป็นการทดสอบความถี่ทั้ง 3 ความถี่ในย่านตั้งแต่ ซึ่งสามารถแสดงผลตอบสนองของวงจรกรอง
ความถี่ ทั้งโคลเมนทางเวลาและโคลเมนทางความถี่ ซึ่งทำให้ง่ายต่อการนำไปประยุกต์ใช้งานได้อย่างกว้างขวาง

Abstract

In this article, the Finite Impulse Response digital filter design are presented. This filter consists of low pass filter, high pass filter and band pass filter that the real time digital signal processing are applied in order to ideal frequency response. The time domain and frequency domain of frequency response are listed in 0-4KHz

บานนำ

เมื่อกล่าวถึงการประมวลผลสัญญาณเดิมจิตอัลเร้มกจะพิจารณาถึงการกรองสัญญาณในรูปแบบของเดิมจิตอัลด้วยสมอ เนื่องจากการกรองสัญญาณในรูปแบบนี้เป็นระบบพื้นฐาน ที่สามารถอธิบายถึงการทำงานของระบบการประมวลผลสัญญาณแบบเดิมจิตอัลได้เป็นอย่างดี จะสังเกตว่าในปัจจุบันได้มีการนำเอาระบบกรองความถี่ไปประยุกต์ใช้กับงานต่าง ๆ อย่างแพร่หลาย เช่น ในระบบการประมวลผลสัญญาณเสียงในระบบการควบคุมและในทางด้านระบบการสื่อสาร เป็นต้น

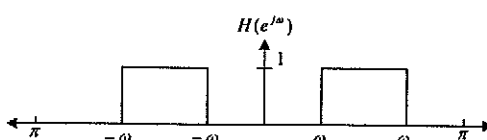
บทความนี้ได้นำเสนอดึงการอุตสาหกรรมและสร้างสรรค์ความที่แบบดิจิตอลชนิดผลตอบสนองจำกัด (Finite Impulse Response : FIR) โดยมีจุดประสงค์หลักเพื่อใช้สำหรับในห้องปฏิบัติการหรือใช้ประกอบการเรียน-การสอนในเนื้อหาวิชาการประมวลผลสัญญาณดิจิตอล ซึ่งจะกำหนดความถี่สูงไว้ที่ 8 kHz ดังนั้น ยานความถี่ที่ใช้ในการปฏิบัติงานจึงอยู่ในช่วงตั้งแต่ $0 - 4\text{ kHz}$ ซึ่งหมายความว่าการประมวลผลสัญญาณเสียงพูด (Speech) และได้กำหนดให้มีลำดับของ การกรองที่ 64 (64 Order) โดยสามารถเลือกชนิดของการกรองได้ 3 แบบดังนี้ แบบที่ 1 เป็น

* อาจารย์ประจำภาควิชาศึกษากรรมไฟฟ้า คณะวิศวกรรมศาสตร์

การกรองแบบความถี่ต่ำผ่าน (Low pass filter) แบบที่ 2 เป็นการกรองแบบความถี่เฉพาะผ่าน(Band pass filter) และแบบสุดท้ายเป็นการกรองแบบความถี่สูงผ่าน(High pass filter) โดยแนะนำ DSK Starter kit ซึ่งใช้ตัวประมวลผลัญญาติจิตอลเบอร์ TMS-320C26 เป็นตัวประมวลผลหลักที่สามารถเข้ามือกับเครื่องไมโครคอมพิวเตอร์ผ่านทางพอร์ตอุปกรณ์ ทำให้ง่ายต่อการออกแบบการเลือกชนิดของการกรอง และความถี่ตัด โดยผ่านโปรแกรมที่ได้ออกแบบขึ้นมา

ทฤษฎีและหลักการ

ในการออกแบบวงจรกรองความถี่นั้น เราจะทำการออกแบบในโดเมนทางความถี่ (Frequency Domain) ซึ่งเมื่อพิจารณา ในรูปที่ 1 เป็นการทดลองผลตอบสนองของวงจรกรองแบบแบบผ่านได้ในโดเมนทางความถี่ ถ้ากำหนดให้ $|w_1| = 0$ และ $0 < |w_2| < \pi$ ผลของการกรองจะเป็นการกรองความถี่ต่ำผ่าน ส่วนในทางกลับกันถ้ากำหนดให้ $|w_2| < \pi$ และ $0 < |w_1| < \pi$ ผลของการกรองที่ได้จะเป็นการกรองความถี่สูงผ่าน



รูปที่ 1 แสดงผลตอบสนองของวงจรกรองความถี่

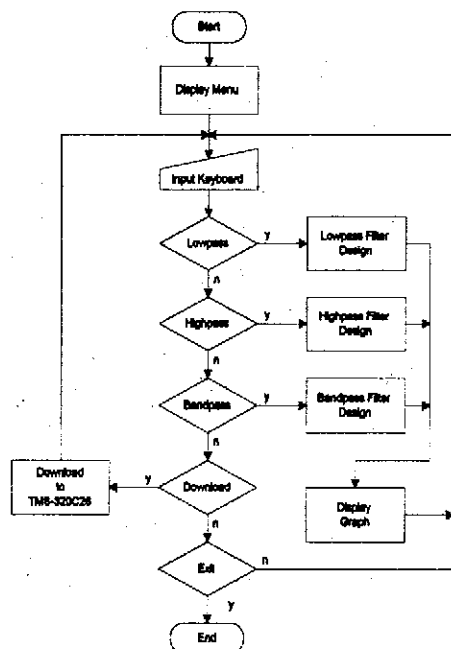
การสร้างวงจรกรองความถี่เราจะกำหนดให้วงจรทำงานในโดเมนทางเวลาซึ่งสามารถหาผลตอบสนองทางเวลาของวงจรกรองได้จากการแปลงกลับฟูเรีย์จากผลตอบสนองของวงจรกรองความถี่ในรูปที่ 1 ดังสมการ

$$h(n) = \frac{1}{2\pi} \int_{-\pi}^{\pi} H(e^{j\omega}) e^{j\omega n} d\omega$$

$$\begin{aligned} &= \frac{1}{2\pi} \int_{-\omega_1}^{-\omega_2} e^{j\omega n} + \frac{1}{2\pi} \int_{\omega_1}^{\omega_2} e^{j\omega n} \\ &= \begin{cases} \frac{1}{\pi n} [\sin(\omega_2 n) - \sin(\omega_1 n)] & ; n \neq 0 \\ \frac{1}{\pi n} [\omega_2 - \omega_1] & ; n = 0 \end{cases} \end{aligned} \quad (1)$$

จากสมการที่ (1) จะได้ $-M/2 \leq n \leq M/2$ ซึ่ง M คือจำนวนลำดับของวงจรกรองซึ่งในที่นี้กำหนดให้ $M = 64$ และจะได้คำสัมประสิทธิ์จำนวน 65 ตัว เราสามารถปรับเปลี่ยนผลตอบสนองของวงจรกรองในโดเมนทางเวลาเพื่อให้ผลตอบสนองของความถี่มีค่าใกล้เคียงกับในทางอุดมคติมากขึ้น [1] โดยการคูณด้วยวินโดว์ (Window) ซึ่งวินโดว์ที่ใช้ในบทความนี้คือวินโดว์แบบ Hann ดังนี้

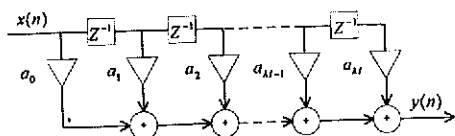
$$w_H = \frac{1}{2} \left[1 - \cos \left(\frac{2\pi n}{M/2+1} \right) \right] \quad (2)$$



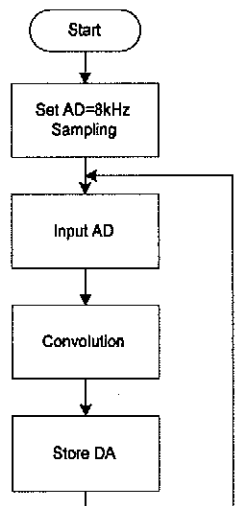
รูปที่ 2 แสดงแผนภูมิการทำงานของโปรแกรม
การออกแบบวงจรกรองความถี่

โดยผลตอบสนองของวงจรกรองในโหมดหน้างเวลาที่สมบูรณ์จะได้มาจากการนำเอาผลที่ได้จากสมการที่ 1 คูณกับสมการที่ 2 โปรแกรมภายใต้การปฏิบัติของ DOS ซึ่งมีขั้นตอนการทำงานตามรูปที่ 2 โปรแกรมที่ทำการออกแบบชี้มานี้ สามารถแสดงผลตอบสนองของวงจรกรองความถี่ทั้งโหมดหน้างเวลาและโหมดหน้างความถี่ให้สามารถทำงานที่เวลาจริงผ่านทางพอร์ตต่อหุ่นยนต์ แม่วงจร DSK ซึ่งทำให้ง่ายต่อการนำไปใช้งานเป็นอย่างมาก

ในส่วนการทำงานของโปรแกรมที่ทำหน้าที่เป็นวงจรกรอง ซึ่งทำงานบนตัวประมวลผลลักษณะดิจิตอลเบอร์ TMS-320C26 นี้สามารถออกแบบได้ตามโครงสร้างพื้นฐานของวงจรกรองแบบผลตอบสนองจำกัดดังแสดงในรูปที่ 3



รูปที่ 3 แสดงโครงสร้างพื้นฐานของวงจรกรองแบบ FIR



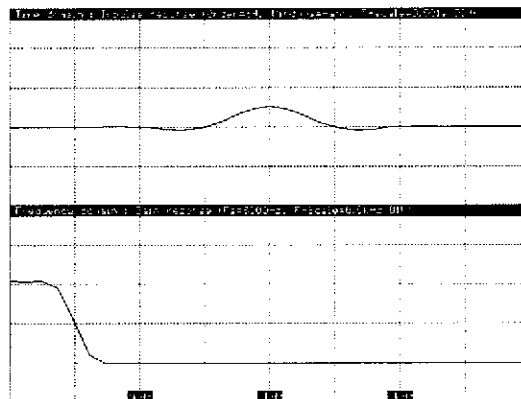
รูปที่ 4 แสดงแผนภูมิการทำงานของโปรแกรมกรองความถี่ทั้งโหมดหน้างเวลาจริง

จากรูปที่ 3 จะสัมพันธ์กับสมการที่ (3) นั้นคือลักษณะลำดับที่เอกสารพูด $y(n)$ ได้จากการคูณประสานกัน (Convolution) ระหว่างลักษณะอินพุต $x(n)$ โดยที่ $x(n)$ คือลักษณะที่ได้จากการสูญตัวอย่างจากการเปลี่ยนลักษณะอนามัยเป็นลักษณะติดต่อผลตอบสนองของวงจรกรองความถี่ $h(n)$ ซึ่งจากรูปที่ 3 ค่าสัมประสิทธิ์ของ a_n โดยที่ $a_n = h(n - M/2) \times w_H(n - M/2)$ และ $0 \leq n \leq M$ นั้นเอง ซึ่งสามารถเขียนเป็นแผนภูมิของการทำงานได้ดังแสดงในรูปที่ 4

$$y(n) = \sum_{k=0}^M h(k)x(n-k) \quad (3)$$

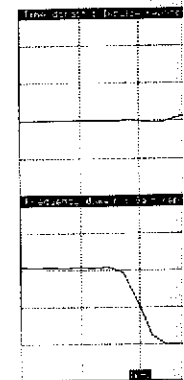
ผลการทำงาน

จากการทดสอบการทำงานที่ผ่านมาได้ทำการทดสอบการออกแบบวงจรกรองความถี่ทั้ง 3 แบบคือ วงจรกรองແணความถี่ต่ำผ่าน, วงจรกรองແணความถี่สูงผ่าน และวงจรกรองແணความถี่เฉพาะผ่าน ซึ่งสามารถแสดงได้ในลักษณะของลักษณะผลตอบสนองทางความถี่ ดังรูปที่ 5 ถึง 13 ตามลำดับจะเห็นว่า รูปลักษณะผลตอบสนองของวงจรกรองความถี่ใกล้เคียงกับทางอุดมคติมากพอสมควร

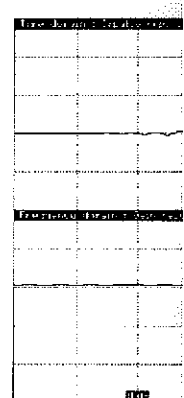


รูปที่ 5 กราฟแสดงผลตอบสนองของวงจรกรองແணความถี่ต่ำผ่าน

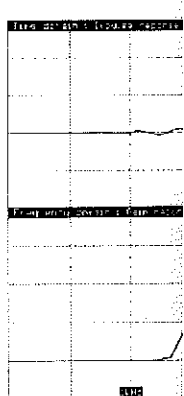
$$\omega_1 = 0, \omega_2 = \frac{\pi}{8} (500 \text{ Hz})$$



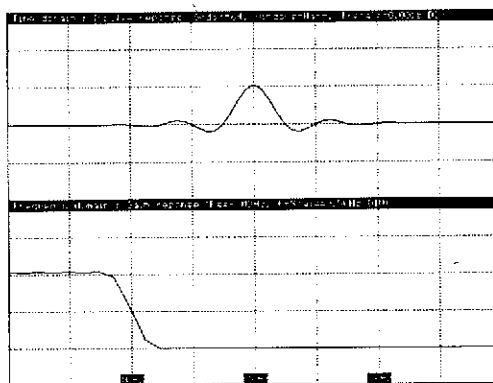
รูปที่ 6 กราฟ
ແण



รูปที่ 7 กราฟ
ແণ

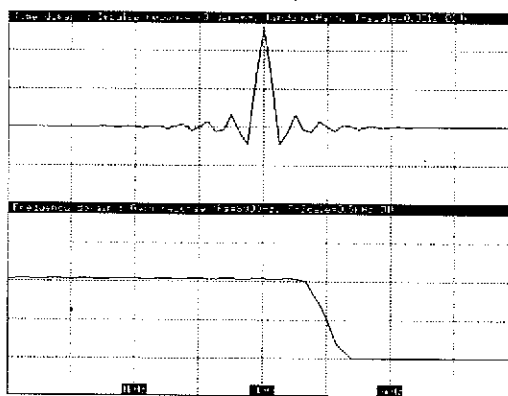


รูปที่ 8 กราฟ
ແণ



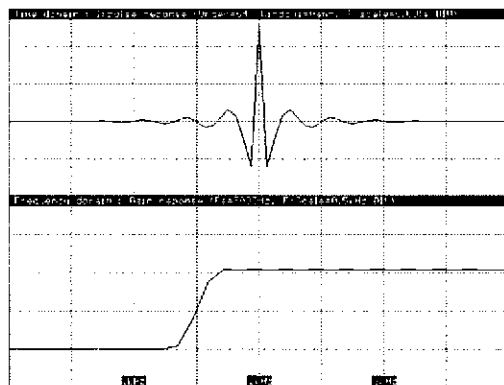
รูปที่ 6 กราฟแสดงผลตอบสนองของวงจรกรอง
แบบความถี่ต่ำผ่าน

$$\omega_1 = 0, \omega_2 = \frac{\pi}{4} (1\text{kHz})$$



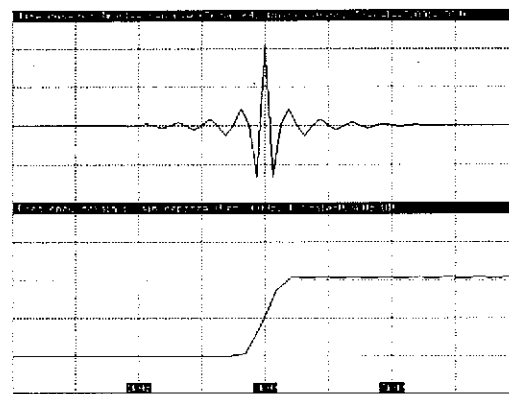
รูปที่ 7 กราฟแสดงผลตอบสนองของวงจรกรอง
แบบความถี่ต่ำผ่าน

$$\omega_1 = 0, \omega_2 = \frac{2.5\pi}{4} (2.5\text{kHz})$$



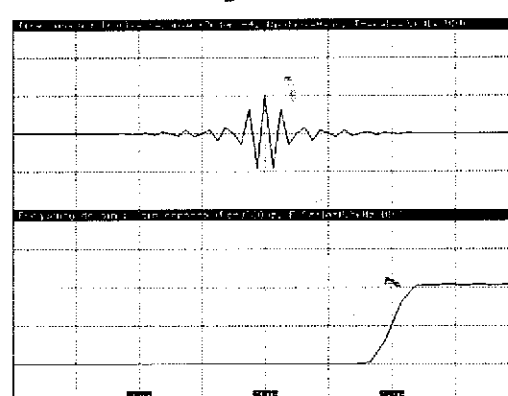
รูปที่ 8 กราฟแสดงผลตอบสนองของวงจรกรอง
แบบความถี่ต่ำผ่าน

$$\omega_1 = \frac{1.5\pi}{4} (1.5\text{kHz}), \omega_2 = \pi (4\text{kHz})$$



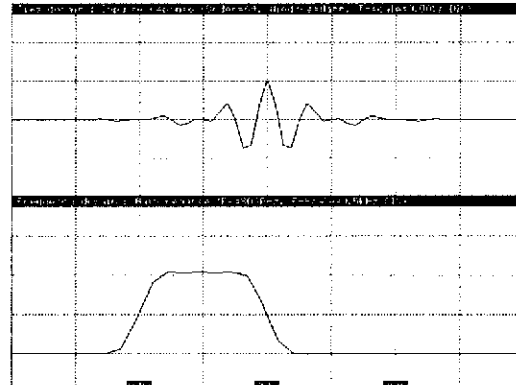
รูปที่ 9 กราฟแสดงผลตอบสนองของวงจรกรอง
แบบความถี่สูงผ่าน

$$\omega_1 = \frac{\pi}{2} (2\text{kHz}), \omega_2 = \pi (4\text{kHz})$$



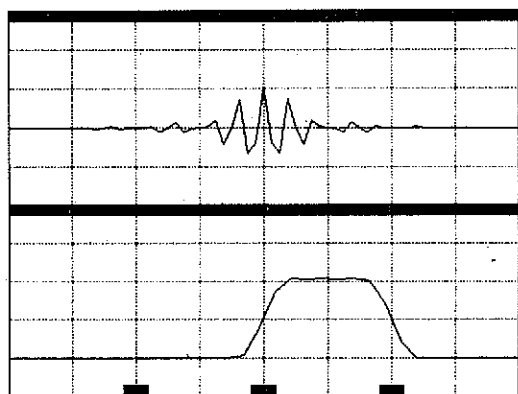
รูปที่ 10 กราฟแสดงผลตอบสนองของวงจรกรอง
แบบความถี่สูงผ่าน

$$\omega_1 = \frac{3\pi}{4} (3\text{kHz}), \omega_2 = \pi (4\text{kHz})$$



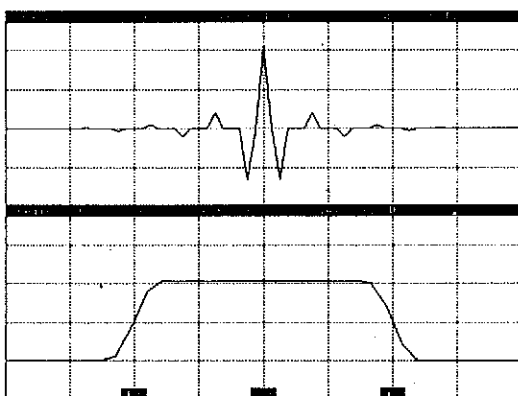
รูปที่ 11 กราฟแสดงผลตอบสนองของวงจรกรอง
แบบความถี่เฉพาะผ่าน

$$\omega_1 = \frac{\pi}{4} (1\text{kHz}), \omega_2 = \frac{\pi}{2} (2\text{kHz})$$



รูปที่ 12 กราฟแสดงผลตอบสนองของวงจรกรองแบบความถี่เฉพาะผ่าน

$$\omega_1 = \frac{\pi}{2} (2\text{kHz}), \omega_2 = \frac{3\pi}{4} (3\text{kHz})$$



รูปที่ 13 กราฟแสดงผลตอบสนองของวงจรกรองแบบความถี่เฉพาะผ่าน

$$\omega_1 = \frac{\pi}{4} (1\text{kHz}), \omega_2 = \frac{3\pi}{4} (3\text{kHz})$$

บทสรุป

วงจรกรองความถี่ที่ได้นำเสนอในบทความนี้ เป็นการประยุกต์หลักการพื้นฐานของวงจรกรองแบบดิจิตอลชนิดผลตอบสนองจำกัดให้สามารถนำไปใช้จริงในทางปฏิบัติได้ ซึ่งจะมีความสะดวกในการใช้งานมากกว่างจรกรองความถี่แบบอนalog เพราะสามารถเลือกชนิดของการกรองและความถี่ตัดได้จากเครื่องไมโครคอมพิวเตอร์ ดังนั้นจึงสามารถนำไปประยุกต์ใช้งานได้อย่างกว้างขวาง เมื่อทำการเปรียบเทียบข้อดีและข้อเสียของวงจรกรองแบบผลตอบสนองจำกัด (Finite Impulse Response : FIR) กับวงจรกรองแบบผลตอบสนองไม่จำกัด (Infinite Impulse Response : IIR) จะเห็นได้ว่า วงจรกรองแบบผลตอบสนองจำกัด สามารถออกแบบได้ด้วย และมีผลตอบสนองทางทางเฟสที่เป็นเชิงเส้นมากกว่างจรกรองแบบผลตอบสนองไม่จำกัด ส่วนข้อเสียคือต้องใช้หน่วยความจำมากและตัวประมวลผลที่มีความเร็วสูง สำหรับแนวทางในการพัฒนาต่อไป คือการเพิ่มจำนวนล่าดับและการเพิ่มความถี่ในการสูมสัมภูณ์ใหม่มากขึ้น จะทำให้ได้วงจรกรองมีผลตอบสนองทางความถี่ที่ใกล้เคียงกับอุดมคติมากยิ่งขึ้น และมียานการปฏิบัติงานที่กว้างขึ้น แต่ทั้งนี้จะต้องคำนึงถึงหน่วยความจำและความเร็วของตัวประมวลผลด้วยเป็นสำคัญ □



เอกสารอ้างอิง

- ¹ Gordon B. Lockhart, "Basic Digital Signal Processing", London , UK, 1989
- ² Roman Kuc, "Introduction to Digital Signal", McGraw-Hill, USA, 1982
- ³ Les Thede, "Analog and Digital Filter Design Using C", Prentice Hall, Newjersey, USA, 1996
- ⁴ Leland B. Jackson, "Digital Filter and Signal processing", Kluwer Academic Publisher, USA, 1986.
- ⁵ Paul M. Ember, "C language Algorithms for Digital Signal Processing", Prentice Hall, USA, 1991.